

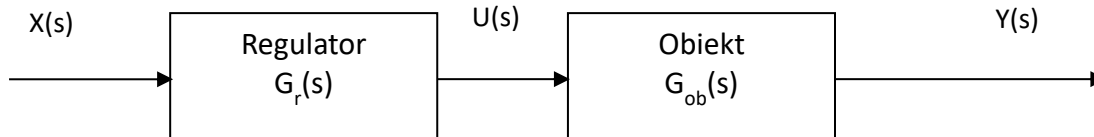
Lab nr 4

Wprowadzenie do układów regulacji automatycznej (URA)

Program zajęć:

1. Układy sterowania.

a. Sterowanie w strukturze otwartej.

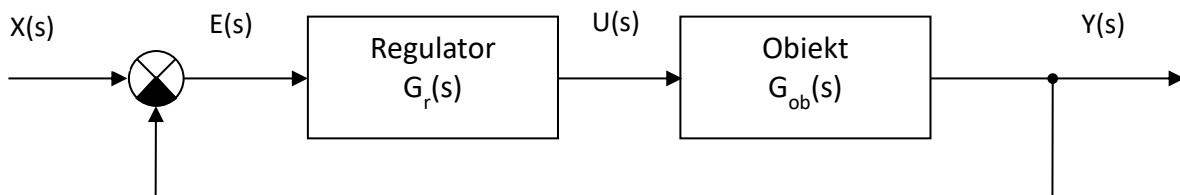


Rys. 1. Schemat blokowy otwartego układu sterowania

Sygnał sterujący u jest określony przez regulator, realizujący algorytm sterowania. Sterowanie w układzie otwartym jest sensowne tylko wówczas, gdy dla danych sygnałów sterujących możemy przewidzieć odpowiednio dokładnie powstające skutki sterowania.

W praktyce na obiekt oddziałują zakłócenia zewnętrzne, obiekt sterowania może także wykazywać pewną zmienność. Zatem aby poprawić skuteczność sterowania wprowadza się sprzężenie zwrotne (patrz punkt b poniżej).

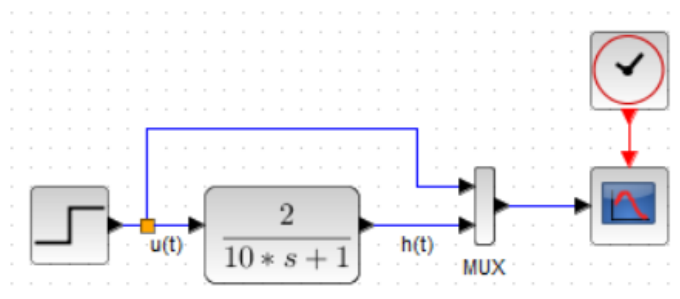
b. Sterowanie w strukturze zamkniętej.



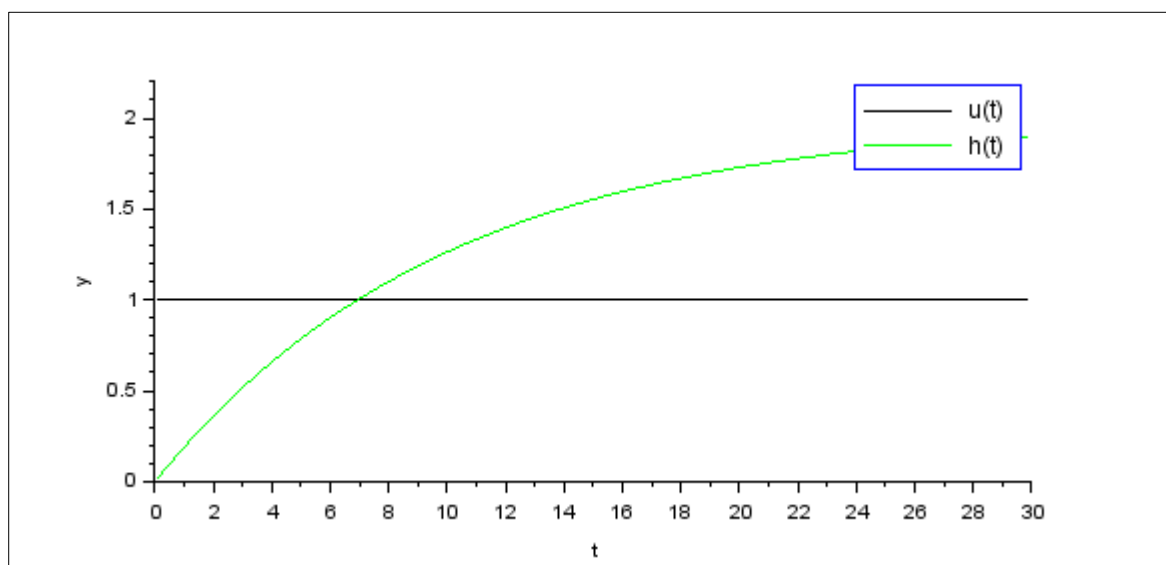
Rys. 2. Schemat blokowy zamkniętego układu sterowania

W węźle sumacyjnym (poprzez sprzężenie zwrotne) realizowane jest porównanie sygnału wyjściowego y z sygnałem zadanym x . Praca zamkniętego układu sterowania polega na reagowaniu na zmianę sygnału wyjściowego (spowodowanej np. wpływem zakłóceń z) poprzez wyznaczenie sygnału uchybu e . Regulator na podstawie wartości sygnału uchybu e , zgodnie z algorytmem sterowania wypracowuje sygnał sterujący u , który spowoduje sprowadzenie wartości uchybu do zera. Zadaniem układu regulacji jest minimalizacja wartości sygnału uchybu: $\lim_{t \rightarrow \infty} e(t) = \lim_{t \rightarrow \infty} [x(t) - y(t)] = 0$

2. Badanie odpowiedzi skokowej obiektu o transmitancji $G_{ob}(s) = \frac{2}{10s+1}$



Rys. 3. Schemat blokowy do badania odpowiedzi skokowej obiektu G_{ob}



Rys. 4. Odpowiedź skokowa obiektu G_{ob}

Z rysunku 4 wynika, że po podaniu na wejście obiektu sygnału typu skok jednostkowy, na wyjściu pojawi się sygnał o ustalonej wartości 2. Jaką wartość należy podać na wejście obiektu, aby na wyjściu pojawił się sygnał ustalony równy 1? W URA wypracowywaniem sygnału, który należy podać na wejście obiektu zajmuje się regulator.

3. URA z regulatorem typu P.

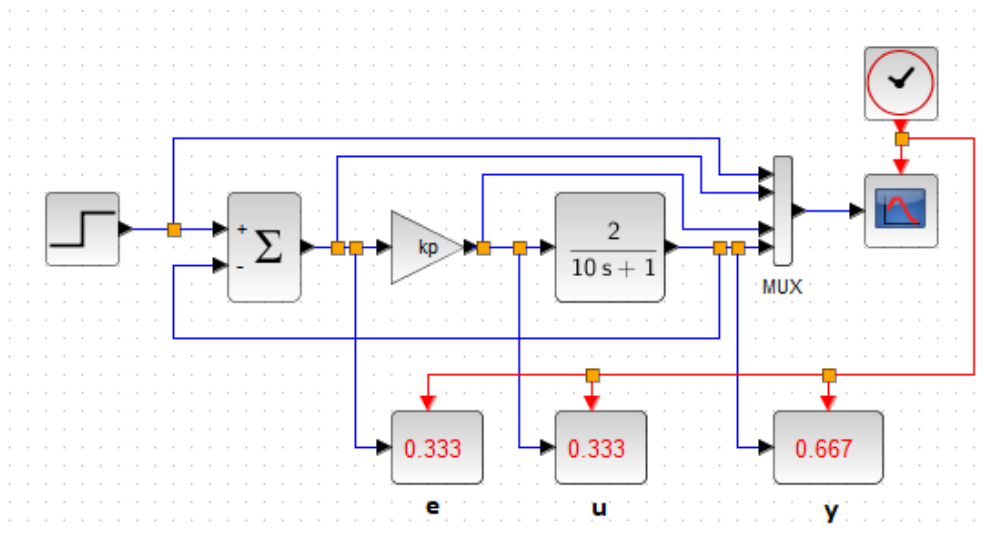
- a. Algorytm regulatora ciągłego typu P.

$$u(t) = k_p \cdot e(t)$$

k_p – współczynnik wzmocnienia regulatora.

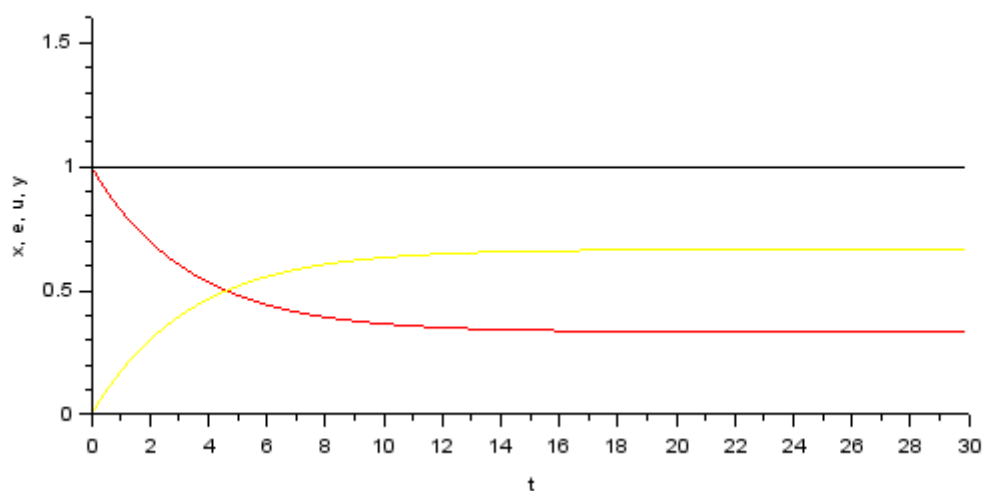
- b. URA z regulatorem typu P i obiektem G_{ob} .

$$G_{ob}(s) = \frac{2}{10s+1}; \quad \text{wzmocnienie regulatora typu P: } k_p=1$$



Rys. 5. URA z regulatorem typu P i obiektem G_{ob} dla wzmocnienia regulatora P: $k_p=1$

Wskaźniki cyfrowe e, u i y: Przeglądarka palet -> Sinks -> AFFICH_m (Set AFFICH_m block parameters: Number of fractional part digits () = 3).



Rys. 6. Przebiegi $x(t)$, $e(t)$, $u(t)$ oraz $y(t)$ dla URA z rysunku 5; czarny – $x(t)$, zielony (ukryty pod czerwonym) – $e(t)$, czerwony – $u(t)$, żółty – $y(t)$

Na rysunku 6 przebiegi $e(t)$ oraz $u(t)$ reprezentowane są jednym kolorem – czerwonym. Jest to spowodowane jednostkowym wzmocnieniem regulatora $u(t)=e(t)$.

Analityczne wyznaczenie wartości uchybu ustalonego dla URA z rysunku 5.

$$\begin{aligned} G_o(s) &= G_r(s) \cdot G_{ob}(s) & G_e(s) &= \frac{E(s)}{X(s)} = \frac{X(s) - Y(s)}{X(s)} = 1 - G_z(s) \\ G_z(s) &= \frac{G_o(s)}{1 + G_o(s)} \\ e_u &= \lim_{t \rightarrow \infty} e(t) = \lim_{s \rightarrow 0} [s \cdot E(s)] & y_u &= \lim_{t \rightarrow \infty} y(t) = \lim_{s \rightarrow 0} [s \cdot Y(s)] \end{aligned}$$

$$G_R(s) = k_P$$

$$G_{ob}(s) = \frac{k}{Ts+1}$$

$$G_o(s) = G_R(s) \cdot G_{ob}(s) = \frac{k \cdot k_P}{Ts+1}$$

$$G_z(s) = \frac{G_o(s)}{1 + G_o(s)G_{cz}(s)} = \frac{\frac{k \cdot k_P}{Ts+1}}{1 + \frac{k \cdot k_P}{Ts+1}} = \frac{\frac{k \cdot k_P}{Ts+1}}{\frac{Ts+1 + k \cdot k_P}{Ts+1}} = \frac{k \cdot k_P}{Ts+1 + k \cdot k_P}$$

$$G_e(s) = 1 - G_z(s) = 1 - \frac{k \cdot k_P}{Ts+1 + k \cdot k_P} = \frac{Ts+1}{Ts+1 + k \cdot k_P}$$

$$E(s) = G_e(s) \cdot X(s) = \frac{Ts+1}{Ts+1 + k \cdot k_P} \cdot \frac{1}{s}$$

$$\begin{aligned} e_u &= \lim_{t \rightarrow \infty} e(t) = \lim_{s \rightarrow 0} (s \cdot E(s)) = \\ &= \lim_{s \rightarrow 0} \left(s \cdot \frac{Ts+1}{Ts+1 + k \cdot k_P} \cdot \frac{1}{s} \right) = \lim_{s \rightarrow 0} \left(\frac{Ts+1}{Ts+1 + k \cdot k_P} \right) = \frac{1}{1 + k \cdot k_P} \end{aligned}$$

$$e_u = \frac{1}{1 + 2k_p}$$

Widać zatem, że uchyb ustalony e_u będzie dążył do zera $\Leftrightarrow k_p \rightarrow \infty$

Wartość uchybu ustalonego dla URA z rysunku 5, gdzie $k_p=1$: $e_u = \frac{1}{1+2 \cdot 1} = \frac{1}{3} = 0,333$

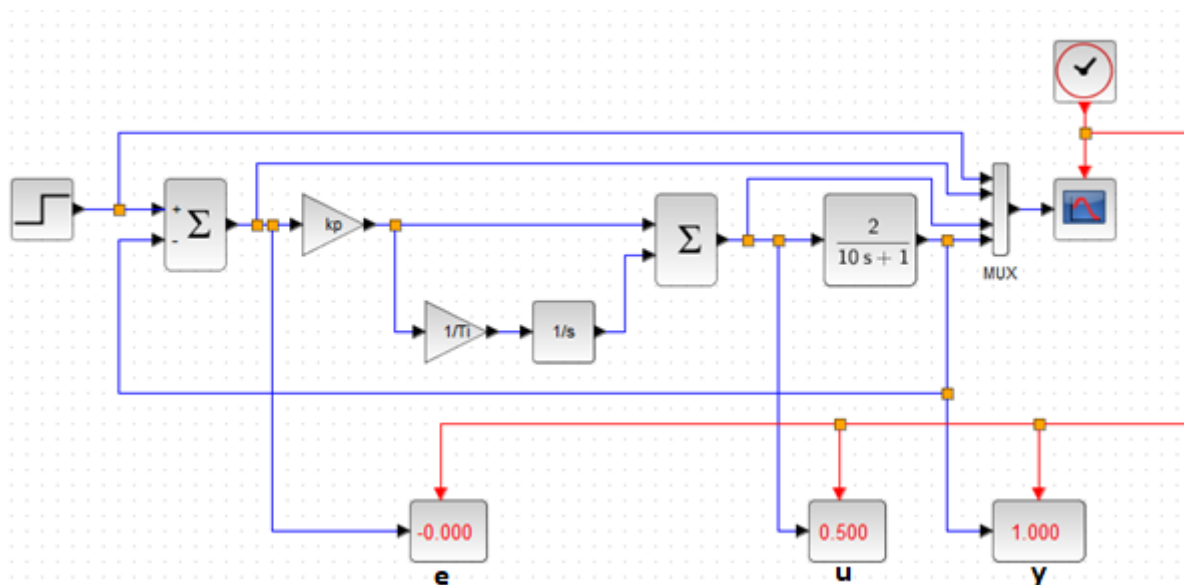
Sprawdzić eksperymentalnie wartość uchybu ustalonego dla rosnących wartości wzmocnienia regulatora typu P.

4. URA z regulatorem typu PI.

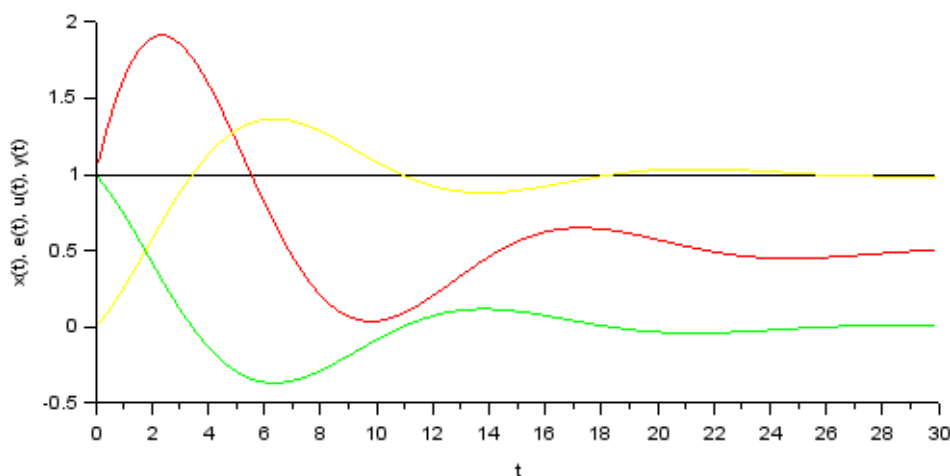
a. Algorytm regulatora ciągłego typu PI.

$$u(t) = k_p \left[e(t) + \frac{1}{T_i} \int_0^t e(\tau) d\tau \right]$$

T_i – czas zdwojenia (czas, po którym składowa pochodząca z działania całkującego zrówna się ze składową pochodzącą z działania proporcjonalnego po podaniu na wejście regulatora sygnału skokowego).



Rys. 7. URA z regulatorem typu PI i obiektem G_{ob} dla nastaw regulatora PI: $k_p=1$, $T_i=1$



Rys. 8. Przebiegi $x(t)$, $e(t)$, $u(t)$ oraz $y(t)$ dla URA z rysunku 7; czarny – $x(t)$, zielony – $e(t)$, czerwony – $u(t)$, żółty – $y(t)$

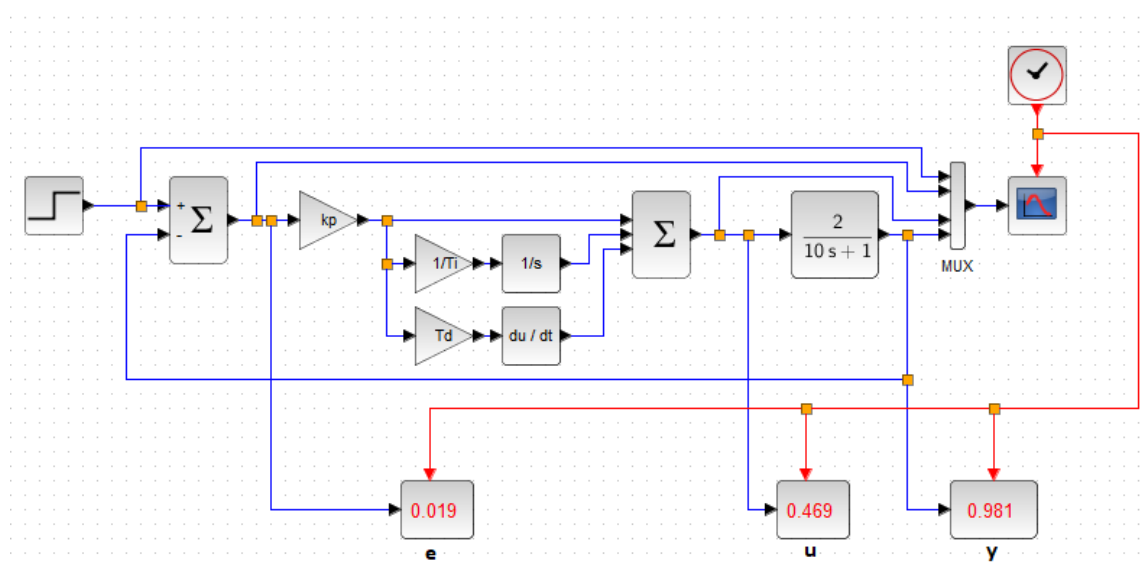
Obliczyć wartość uchybu ustalonego dla URA z regulatorem typu PI (rysunek 7) metodą z punktu 3, gdzie transmitancja regulatora $G_R(s) = k_P \left(1 + \frac{1}{T_i s}\right)$.

5. URA z regulatorem typu PID.

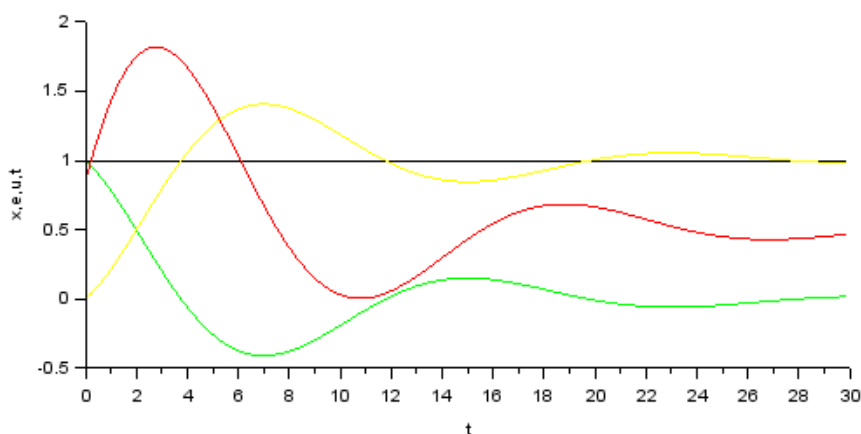
a. Algorytm regulatora ciągłego typu PID.

$$u(t) = k_P \left[e(t) + \frac{1}{T_i} \int_0^t e(\tau) d\tau + T_d \frac{de(t)}{dt} \right]$$

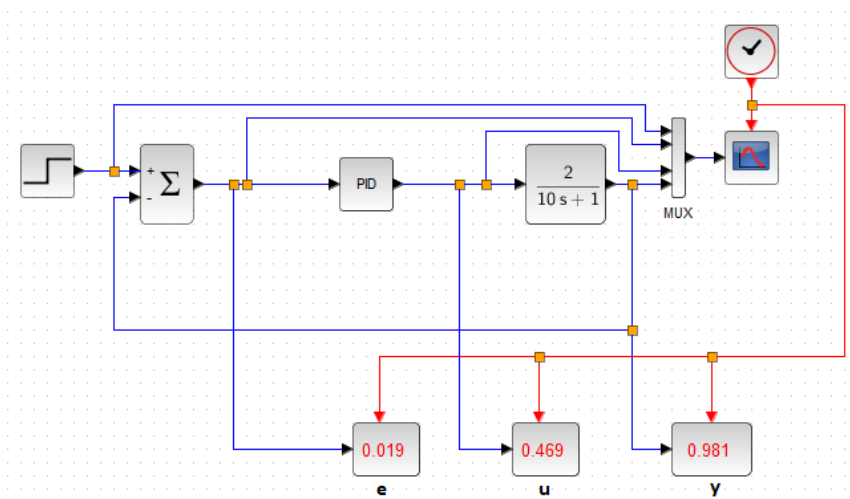
T_d – stała wyprzedzenia (czas, po którym składowa pochodząca z działania proporcjonalnego zrówna się ze składową pochodzącą z działania różniczkującego po podaniu na wejście regulatora sygnału narastającego liniowo).



Rys. 9. URA z regulatorem typu PID i obiektem G_{ob} dla nastaw regulatora PID: $k_P=1$, $T_i=1$, $T_d=1$

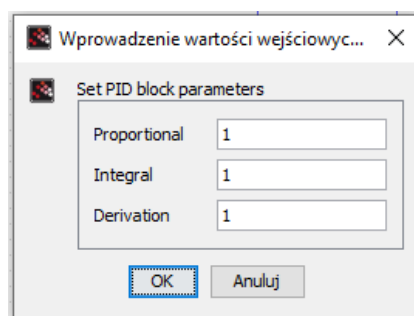


Rys. 10. Przebiegi $x(t)$, $e(t)$, $u(t)$ oraz $y(t)$ dla URA z rysunku 9; czarny – $x(t)$, zielony – $e(t)$, czerwony – $u(t)$, żółty – $y(t)$



Rys. 11. URA z PID i obiektem G_{ob} dla nastaw regulatora PID: $k_p=1$, $T_i=1$, $T_d=1$

Bloczek PID: Przeglądarka palet – Systemy czasu ciągłego – PID.



Rys. 12. Nastawy regulatora PID dla URA z rysunku 8

Dla chętnych - obliczyć wartość uchybu ustalonego dla URA z regulatorem typu PID (rysunek 9) metodą z punktu 3, gdzie transmitancja regulatora

$$G_R(s) = k_P \left(1 + \frac{1}{T_i s} + T_d s \right).$$

W zastosowaniach praktycznych najczęściej spotykany jest regulator typu PID. Zjawisko interakcji – zmiana którejkolwiek z nastaw k_p , T_i , T_d wpływa na wartości pozostałych.

6. Dobór regulatorów i ich nastaw

- Na dobór regulatora w URA mają wpływ informacje wynikające z charakterystyk obiektu regulacji oraz wymagania dotyczące jakości regulacji. Działanie różniczkujące wprowadza dodatnie przesunięcie fazowe i zwiększa pasmo przenoszenia układu. Działanie całkujące wprowadza ujemne przesunięcie fazowe i zmniejsza pasmo przenoszenia układu oraz zwiększa rząd astatyzmu. (Astatyzm gwarantuje likwidację uchybu ustalonego. W zależności od rzędu astatyzmu, obiekty są w stanie likwidować uchyb ustalony dla wymuszeń skokowych, narastających liniowo, ...).

- b. Dobór nastaw regulatora metodą Zieglera-Nicholsa.

Włączając działanie P, zwiększamy wzmocnienie aż do granicy stabilności, w układzie powstaną drgania o stałej amplitudzie i okresie t_{kr} . Wartość wzmocnienia – k_{kr} .

Dla regulatora P: $k_p = 0,5k_{kr}$

Dla regulatora PI: $k_p = 0,45k_{kr}$, $T_i = 0,85t_{kr}$

Dla regulatora PID: $k_p = 0,6k_{kr}$, $T_i = 0,5t_{kr}$, $T_d = 0,12t_{kr}$

7. Jakość regulacji

- a. Jakość regulacji w stanie ustalonym

Uchyb ustalony e_u

$$e_u = \lim_{t \rightarrow \infty} e(t)$$

- b. Jakość regulacji w stanie nieustalonym

Przeregulowanie σ

$$\sigma = \frac{e_{p1}}{e_{p0}} \cdot 100\%$$

Stosunek drugiej amplitudy e_{p1} uchybu $e(t)$ do pierwszej amplitudy e_{p0} .

Czas regulacji t_r

Jest to czas, jaki upłynął od momentu wystąpienia skokowej zmiany wartości zadanej do ustalenia się wahań uchybu $e(t)$ od 2% do 5% pierwszej amplitudy e_{p0} wokół wartości uchybu ustalonego.

8. Kryteria sterowania całkowite – miary jakości regulacji (indeksy jakości, funkcjonały kosztów)

Miara jakości obrazuje jak dobrze URA zachowuje się między chwilą początkową (najczęściej 0) a czasem końcowym (najczęściej ∞).

- a. całka z kwadratu uchybu (jakość regulacji)

$$I_0 = \int_0^{\infty} e^2(t) dt$$

- b. całka z bezwzględnej wartości uchybu (jakość regulacji)

$$I_1 = \int_0^{\infty} |e(t)| dt$$

- c. minimum energii (koszty regulacji)

$$I_2 = \int_0^{\infty} u^2(t) dt$$

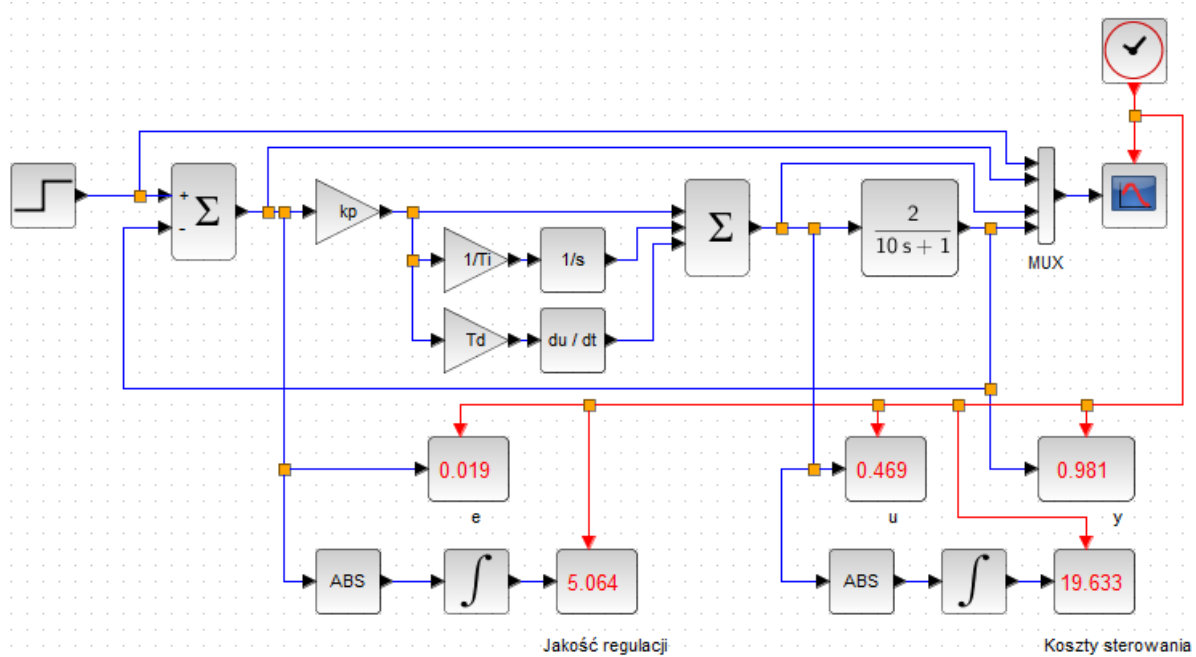
- d. minimum paliwa (koszty regulacji)

$$I_3 = \int_0^{\infty} |u(t)| dt$$

- e. minimum czasu

$$I_4 = \int_0^{\infty} dt$$

9. URA z wyznaczanymi jakością regulacji i kosztami sterowania.



Rys. 13. URA z regulatorem PID i wyznaczanymi jakością regulacji i kosztami sterowania

10. Zadania do samodzielnego rozwiązania

- Sprawdzić eksperymentalnie wartość uchybu ustalonego dla rosnących wartości wzmocnienia regulatora typu P – URA z rysunku 5.
- Sprawdzić zmiany wartości jakości regulacji i kosztów sterowania w funkcji zmian wartości wzmocnienia regulatora typu P.
- Obliczyć wartość uchybu ustalonego dla URA z regulatorem typu PI (rysunek 7) metodą z punktu 3, gdzie transmitancja regulatora $G_R(s) = k_P \left(1 + \frac{1}{T_i s}\right)$.
- Dla chętnych - obliczyć wartość uchybu ustalonego dla URA z regulatorem typu PID (rysunek 7) metodą z punktu 3, gdzie transmitancja regulatora $G_R(s) = k_P \left(1 + \frac{1}{T_i s} + T_d s\right)$.
- Wyznaczyć wartości jakości regulacji i kosztów sterowania dla różnych strategii sterowania (regulator P, PI, PID z różnymi nastawami).